

Высокомолекулярные соединения

Серия А

ВЫСОКОМОЛЕКУЛЯРНЫЕ СОЕДИНЕНИЯ, Серия А, 2003, том 45, № 10, с. 1605–1615

УДК 541.64:546.262.3-31

СИНТЕЗ,
ХИМИЧЕСКИЕ ПРЕВРАЩЕНИЯ

ЧЕРЕДУЮЩАЯСЯ СООЛИГОМЕРИЗАЦИЯ МОНООКСИДА УГЛЕРОДА С НОРБОРНАДИЕНОМ ПОД ДЕЙСТВИЕМ *трис*-ПИРАЗОЛИЛБОРАТА ПАЛЛАДИЯ – [Pd(Tp^{Ph})(*p*-tolyl)(PPh₃)]¹

© 2003 г. Е. В. Новикова*, Г. П. Белов*, W. Klaui**, А. А. Солотнов*

*Институт проблем химической физики Российской академии наук
142432 Черноголовка Московской обл.

**Institute für Anorganische Chemie und Structurchemie der Universität
Universitätsstrasse 1, D-40225 Düsseldorf, Germany

Поступила в редакцию 24.12.2002 г.

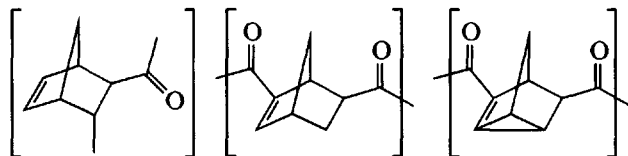
Принята в печать 28.05.2003 г.

Разработан синтез и изучено строение чередующихся соолигомеров монооксида углерода с норборнадиеном, образующихся под действием моно- и бикомпонентного катализатора *трис*-пиразолилбораата палладия в аprotонной среде и в присутствии метанола, бензохинона и(или) CF₃COOH. На основании данных ИК спектроскопии, ЯМР ¹H и ЯМР ¹³C, ГПХ обсуждаются возможные механизмы образования структур различного типа в цепи соолигомеров в зависимости от условий синтеза.

ВВЕДЕНИЕ

Чередующаяся сополимеризация монооксида углерода с виниловыми и диеновыми мономерами в последнее время привлекает все большее внимание [1–7]. Первые сообщения о возможности синтеза соолигомера CO и норборнадиена появились более 30 лет назад [8, 9]. Катализатором служил PdCl₂ и синтезируемый соолигомер ($M_n = 2.9 \times 10^3$) плавился ниже 300°C, был растворим в бензоле, хлороформе и ТГФ, но при выдержке на воздухе его растворимость уменьшалась. Sen [10] получил чередующийся соолигомер CO и норборнадиена с $M_n = 33.8 \times 10^2$ на катализаторе [Pd(CH₃CN)(PPh₃)₃](BF₄)₂. Позднее чередующиеся соолигомеры CO и норборнадиена были синтезированы на комплексах палладия с бидентатными Р^Р и Р^N лигандами [11–13]. Сополимеризация производных норборнадиена и CO в присутствии каталитической системы Rh₆(CO)₁₆–триэтил-

амин–вода при 55°C и давлении CO 10 МПа приводит к образованию высокомолекулярного ($M_w = 24.5 \times 10^3$) чередующегося сополимера, растворимого в ацетоне, хлороформе, бензole и ТГФ [14]. При соолигомеризации норборнадиена и CO на нехиральных Pd-содержащих катализаторах образуется смесь структур



В настоящей работе представлены результаты исследования соолигомеризации норборнадиена и CO на комплексе арил–Pd(II), содержащем *трис*-пиразолилборатный лиганд Tp^{Ph} (Tp^{Ph} = [HB(3,5Me(2)pz)(3)][–]), в среде аprotонного и протонного растворителей. Сополимеризация на этом же катализаторе изучалась ранее лишь в аprotонной среде [15]. Аналогичного типа Ni-комплекс рассматривался в случае сополимеризации этилена с CO в работах [16, 17].

¹ Работа выполнена при финансовой поддержке Российского фонда фундаментальных исследований (код проекта 01-03-33248).

E-mail: gbelov@cat.icp.ac.ru (Белов Геннадий Петрович).

ЭКСПЕРИМЕНТАЛЬНАЯ ЧАСТЬ

Использовали СО 99.9%-ной чистоты; норборнадиен был получен от фирмы "Aldridch". Метанол содержал до 0.5 мас. % воды. Хлористый метилен подвергали очистке и осушке согласно рекомендациям по очистке растворителей. CF_3COOH и *n*-толуолсульфокислота (х.ч.) применяли без дополнительной очистки.

MMP соолигомеров измеряли методом ГПХ (прибор фирмы "Waters") (калибровка по ПС-стандартам; растворитель ТГФ; скорость элюирования 1.2 мл/мин; 16-ти кратная чувствительность; концентрация раствора 0.2–0.3 мас. %; 25°C; колонки 200, 500, 1000 Å).

Спектры ЯМР ^1H и ЯМР ^{13}C снимали на приборе "Bruker AC-200", ИК-спектры – на приборе "Specord M-82".

Соолигомеризацию СО и норборнадиена осуществляли в термостатируемом металлическом реакторе объемом 250 мл с постоянным интенсивным перемешиванием. После термостатирования и предварительного вакуумирования в реактор с помощью металлического шприца вводили 40 мл растворителя и расчетное количество норборнадиена, далее вводили СО до выбранного давления. Затем навеску катализатора растворяли в хлористом метилене в атмосфере аргона (так, чтобы общий объем реакционной массы в реакторе был 60 мл), при необходимости в полученный раствор добавляли незначительное количество метанола и с помощью металлического шприца весь раствор вводили в реактор при включенной мешалке. Расход СО оценивали по изменению давления в мерном баллоне. После соолигомеризации раствор был абсолютно прозрачным. Соолигомер выделяли путем откачки растворителя с дальнейшим переосаждением из CH_2Cl_2 гептаном.

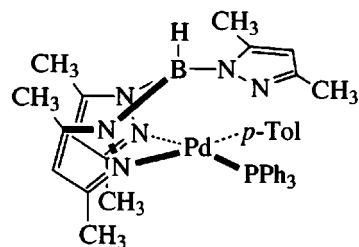
Соолигомеризация в присутствии метанола, в отличие от реакции, проводимой в хлористом метилене, проходит с выпадением палладиевой черни. Полученные соолигомеры были растворимы в хлороформе, ТГФ, плохо растворимы в метано-

ле, ацетоне. Все соолигомеры, кроме соолигомера II, после переосаждения были белого цвета. Соолигомер II после переосаждения имел бледно-розовый цвет. В табл. 1 приведены данные по элементному составу и MMP соолигомеров.

РЕЗУЛЬТАТЫ И ИХ ОБСУЖДЕНИЕ

Исследования чередующейся сополимеризации монооксида углерода с олефинами и диенами свидетельствуют о большом влиянии среды и состава катализитической системы на кинетику реакции и структуру синтезируемого сополимера [3–6].

Для соолигомеризации норборнадиена с СО использовали катализатор следующей структуры:



Методика синтеза катализатора опубликована в работе [15]. Реакция соолигомеризации СО и норборнадиена при 25–35°C проходит с невысокой скоростью (рис. 1, табл. 2), что является обычным в катализитических реакциях СО с диенами и высшими α -олефинами под действием Pd-комплексов [5, 12, 13]. Однако присутствие различных сокатализаторов (бензохинон, метанол, CF_3COOH) позволяет увеличить скорость соолигомеризации.

В зависимости от среды и состава катализитической системы были получены соолигомеры, имеющие различное строение цепи. Так, в случае проведения соолигомеризации в апротонном растворителе (табл. 1, соолигомер I) в структуре соолигомера по данным спектроскопии ЯМР ^1H и ЯМР ^{13}C (рис. 2; табл. 3, структура 1) имеются толильные группы (7.2–7.8 м.д.), что, как было показано ранее [15], предполагает внедрение мономеров по связи Pd-Tol:

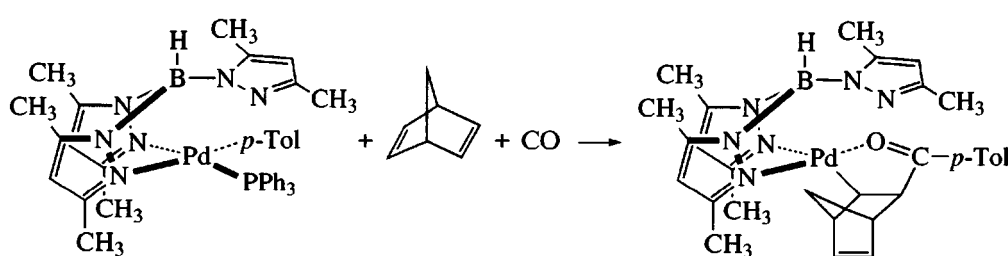


Схема 1

Скорость поглощения CO имеет квазистационарный характер длительное время без выпадения палладиевой черни (рис. 1, кривая I). Обрыв соолигомерной цепи в этом случае происходит, вероятно, за счет реакции β -элиминирования, которая при сополимеризации этилена с CO в среде

апротонного растворителя обеспечивает до 50% концевых непредельных связей [2]. Мы предполагаем, что сигнал 5.3 м.д. в спектре ЯМР ^1H соолигомера I (рис. 2; табл. 3, структура 4) может быть связан именно с присутствием структуры В, образовавшейся по схеме

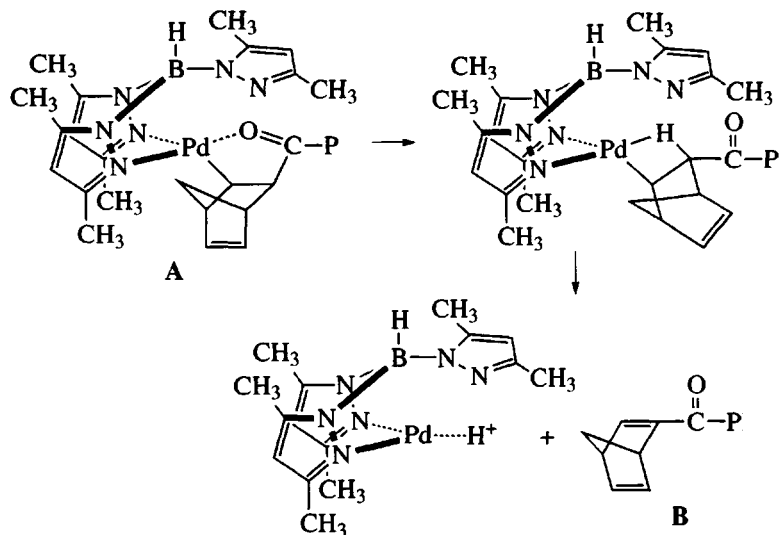


Схема 2

(Р – полимерная цепь).

Следует отметить тот факт, что соолигомеризация в данной катализитической системе не только длительное время протекает в стационарном режиме, но и может продолжаться после перерыва

с такой же скоростью расхода CO. Это свидетельствует либо о “живом” механизме соолигомеризации, либо о стабильности каталитических центров.

Образовавшиеся по схеме 2 центры гидрид-Pd участвуют далее в соолигомеризации:

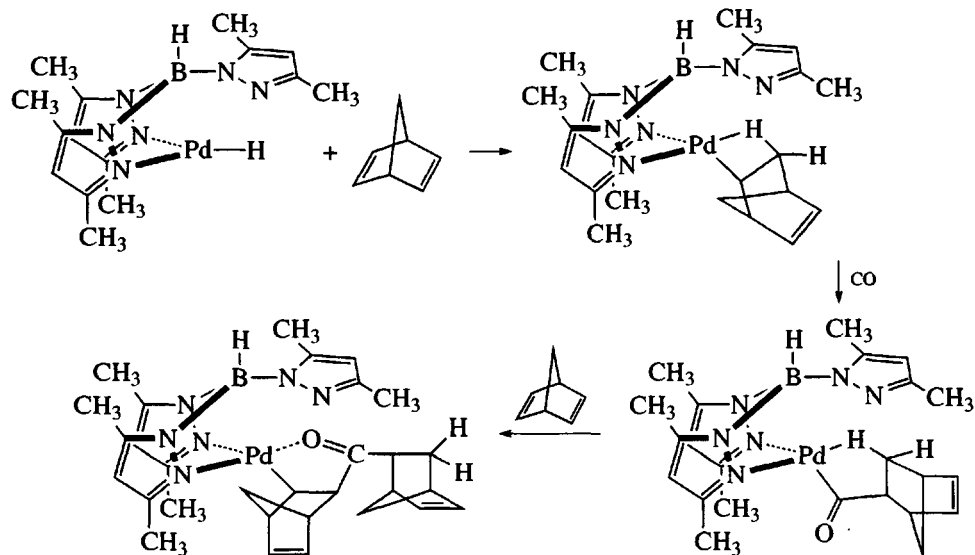


Схема 3

Таблица 1. Элементный состав, ММ и ММР соолигомеров норборнадиен–СО*

| Соолигомер | C | H | M_n | M_w | M_w/M_n |
|------------|-------|------|-------|-------|-----------|
| I | 79.78 | 7.8 | 1830 | 1900 | 1.03 |
| II | 79.86 | 7.5 | 700 | 830 | 1.18 |
| III | 80.6 | 7.12 | 450 | 610 | 1.36 |
| IV | 80.3 | 7.16 | 2100 | 2250 | 1.07 |

* Расчетное содержание C 80.0; H 6.7.

Таблица 2. Условия проведения соолигомеризации норборнадиена с СО*

| Соолигомер | Катализатор, ммоль | Сокомпонент (1 ммоль) | Растворитель, мл | | $p(\text{CO})$, МПа | $T, ^\circ\text{C}$ | Норборнадиен, мл | $w, \text{г/гPd ч}$ |
|------------|--------------------|--------------------------|------------------|--------------------------|----------------------|---------------------|------------------|---------------------|
| | | | MeOH | CH_2Cl_2 | | | | |
| I | 0.28 | — | — | 60 | 0.5 | 25 | 10 | 1.72 |
| II | 0.07 | CF_3COOH | — | 60 | 4.0 | 35 | 20 | 4.76 |
| III | 0.07 | — | 2 | 58 | 4.0 | 35 | 10 | 2.26 |
| IV | 0.14 | Бензохинон | 5 | 55 | 0.5 | 35 | 10 | 23.8 |

* Продолжительность сополимеризации 300 мин.

Образующимся концевым метиленовым группам соответствуют сигналы 1.75 м.д. в спектре ЯМР ^1H и полоса 1357 см^{-1} в ИК-спектре соолигомера (табл. 3, структура 3; рис. 2, 4а, кривая I).

Известно, что в состав катализитической системы, как правило, включают кислоты со слабо коорди-

нированными анионами; они, согласно опубликованным данным [2, 18], обеспечивают свободное координационное место при комплексообразователе, по которому идет внедрение мономеров. Хотя используемый катализатор позволяет проводить чередующуюся соолигомеризацию норборнадиена с CO без подобного компонента, тем не менее мы рассмотрели влияние кислоты (в данном случае CF_3COOH) на скорость реакции соолигомеризации норборнадиена с CO.

Скорость соолигомеризации в этом случае почти в 4 раза выше, чем без кислоты (табл. 2; рис. 1, кривая II). Характер расходования CO также длительное время носит стационарный характер. Визуально наблюдается незначительное выпадение палладиевой черни, но соолигомер после переосаждения имел белый цвет. M_w соолигомера II ниже, чем соолигомера I (табл. 2). Кроме этого, по данным спектров ЯМР ^1H и ЯМР ^{13}C в составе соолигомера отсутствуют концевые толильные группы, т.е. внедрение мономеров в данном случае должно полностью проходить по связи Pd– OOCCF_3 , что предполагает координацию трифторуксусной кислоты к комплексообразователю или обмен толильных групп в катализаторе на группы OOCCF_3 , причем в этом случае Tol-группы

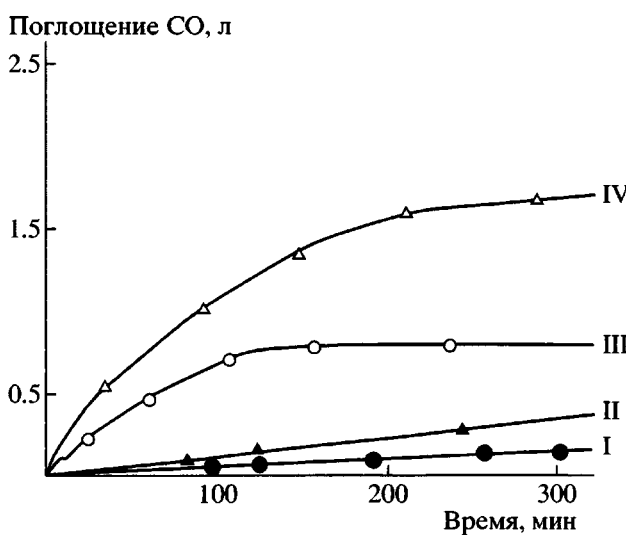


Рис. 1. Кинетические кривые соолигомеризации норборнадиена с CO. Номера кривых и условия соолигомеризации соответствуют табл. 2.

Таблица 3. Структурные элементы, входящие в состав соолигомеров норборнадиена с CO

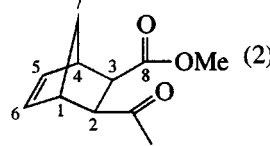
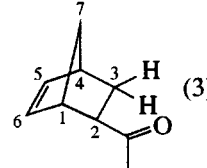
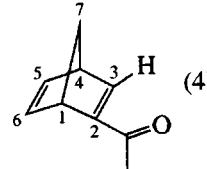
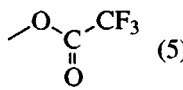
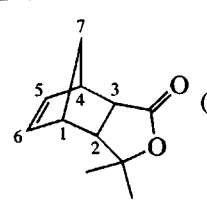
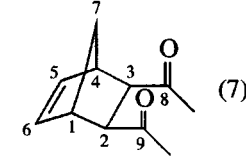
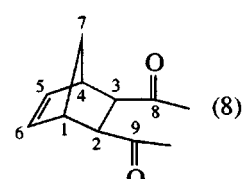
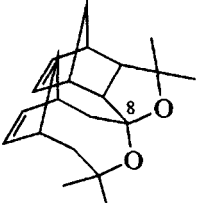
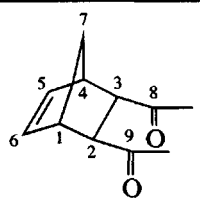
| Структура | ЯМР ^1H , м.д. | | ЯМР ^{13}C м.д. | | ИК-спектроскопия, cm^{-1} | | Соолигомер |
|---|-------------------------|---|---------------------------|--|--|---|----------------|
| | δ_{H} | отнесение | δ_{C} | отнесение | частота | отнесение | |
|  | 2.3 7.26–7.8 | $-\text{CH}_3$ $-\text{C}_6\text{H}_5$ | 128–134 | } $-\text{C}_6\text{H}_5$ | 1568, 1600, 1490 | $\delta_{\text{C}=\text{C}}$ | I, III |
|  | 3.64 | $-\text{C}(\text{O})\text{OCH}_3$ | 52.4 178 138 134 | $-\text{C}(\text{O})\text{OCH}_3$ $-\text{C}(\text{O})\text{OCH}_3$ $-\text{C}(5)$ $-\text{C}(6)$ | 1732 | ν_{CO} | III |
|  | 1.7 | $\text{CH}_2(3)$ | | | 1357 1450 1330 | $\delta_{\omega\text{CH}_2(3)}$ $\delta_{\text{CH}_2(7,3)}$ $\delta_{\omega\text{CH}_2(7)}$ | I, IV |
|  | 5.3 | $\text{CH}(3)$ | 132–134 | $\text{C}(3)$ | | | I, II |
|  | | | | | 1740 845 | $\nu_{\text{OC(O)CF}_3}$ $\delta_s\text{OC(O)CF}_3$ | II |
|  | 3.3 6.2 | $\text{CH}(3)$ $\text{CH}(5,6)$ | 48 56.8 176 138 | $\text{C}(3)$ $\text{C}(2)$ $\text{C}(\text{O})-\text{O}$ $\text{C}(5,6)$ | 1780 | $\nu_{\text{OC(O)}}$ | II, III |
|  | 6.2 0.89 + 1.25 | $\text{CH}(5,6)$ $\text{CH}_2(7)$ | 138 210 | $\text{C}(5,6)$ $\text{C}_{8,9}(\text{O})$ | 1660 1695–1710 1040 1415 703 | $\nu_{\text{C}=\text{C}}$ $\nu_{\text{C(O)}}$ $\delta_{\text{CH}-\text{CO}-\text{CH}}$ $\delta_s\text{C}=\text{C}$ $\delta_{as\text{C}=\text{C}}$ | I, II, III, IV |
|  | 5.9 6.2 | $\text{CH}(6)$ $\text{CH}(5)$ | 209 210 | $\text{C}(9)$ $\text{C}(8)$ | | | II |

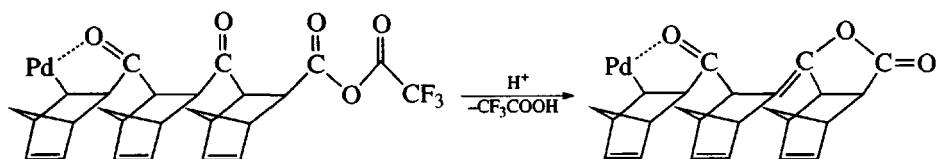
Таблица 3. Окончание

| Структура | ЯМР ^1H , м.д. | | ЯМР ^{13}C м.д. | | ИК-спектроскопия, cm^{-1} | | Соолигомер |
|---|-------------------------|--------------------------------------|--------------------------|-----------|------------------------------------|--|------------|
| | δ_{H} | отнесение | δ_{C} | отнесение | частота | отнесение | |
|  | | | 116 | C(8) | 980–1060, 960 | $\delta_{\text{CH}-(\text{O})\text{CO}-\text{CH}}$ | III |
|  | 6.2 1.36 | $\text{CH}(5,6)$ $\text{CH}_2(7)$ | 209 | C(O) | 1695–1715 | $\nu_{\text{C}(\text{O})}$ | II |

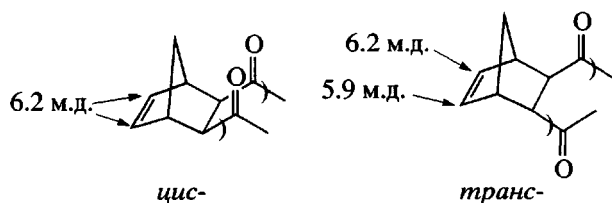
пы не будет даже при первом внедрении. К концевой группе OOCCF_3 мы относим полосы 845 и 1740 cm^{-1} в ИК-спектре соолигомера II (рис. 4б, 4в, кривая II; табл. 3, структура 5).

Как и соолигомер I, соолигомер II имеет в своем составе концевые структуры В, образующиеся

по схеме 2. Однако в отличие от соолигомера I в соолигомере II методами ЯМР и ИК-спектроскопии определяются концевые лактонные группы, (табл. 3, структура 6). Их образование возможно в результате реакции



Отличительной особенностью соолигомера II является присутствие в его составе структур с *транс*-расположением карбонильной группы (табл. 3, структура 8; рис. 2, кривая II).



Соотношение $\delta_{\text{H}, 6.2} : \delta_{\text{H}, 5.9} = 4.2$ при теоретическом значении, равном единице. Таким образом, в соолигомере II имеют место обе структуры, но преимущественно структуры с *цис*-положением карбонильной группы. В работе [19] мы отмечали возможность получения соолигомеров нор-

борнадиена и CO с *транс*-расположением карбонильной группы в присутствии CF_3COOH на другом катализаторе.

В случае проведения соолигомеризации с добавкой протонного растворителя (неабсолютированный метанол) в тех же условиях наблюдается быстрое выпадение палладиевой черни, т.е. происходит восстановление Pd(II) до Pd(0), что приводит к очень низкому выходу соолигомера. Однако повышение температуры до 35°C и давления CO до 4.0 МПа позволило увеличить скорость соолигомеризации, но при этом ММ соолигомера (табл. 1, соолигомер III, $M_w = 610$) ниже, чем в случае соолигомера I ($M_w = 1.9 \times 10^3$).

Наличие концевой метоксиэфирной группы (табл. 3, структура 2) в соолигомере III обусловлено присутствием метанола в реакционной сре-

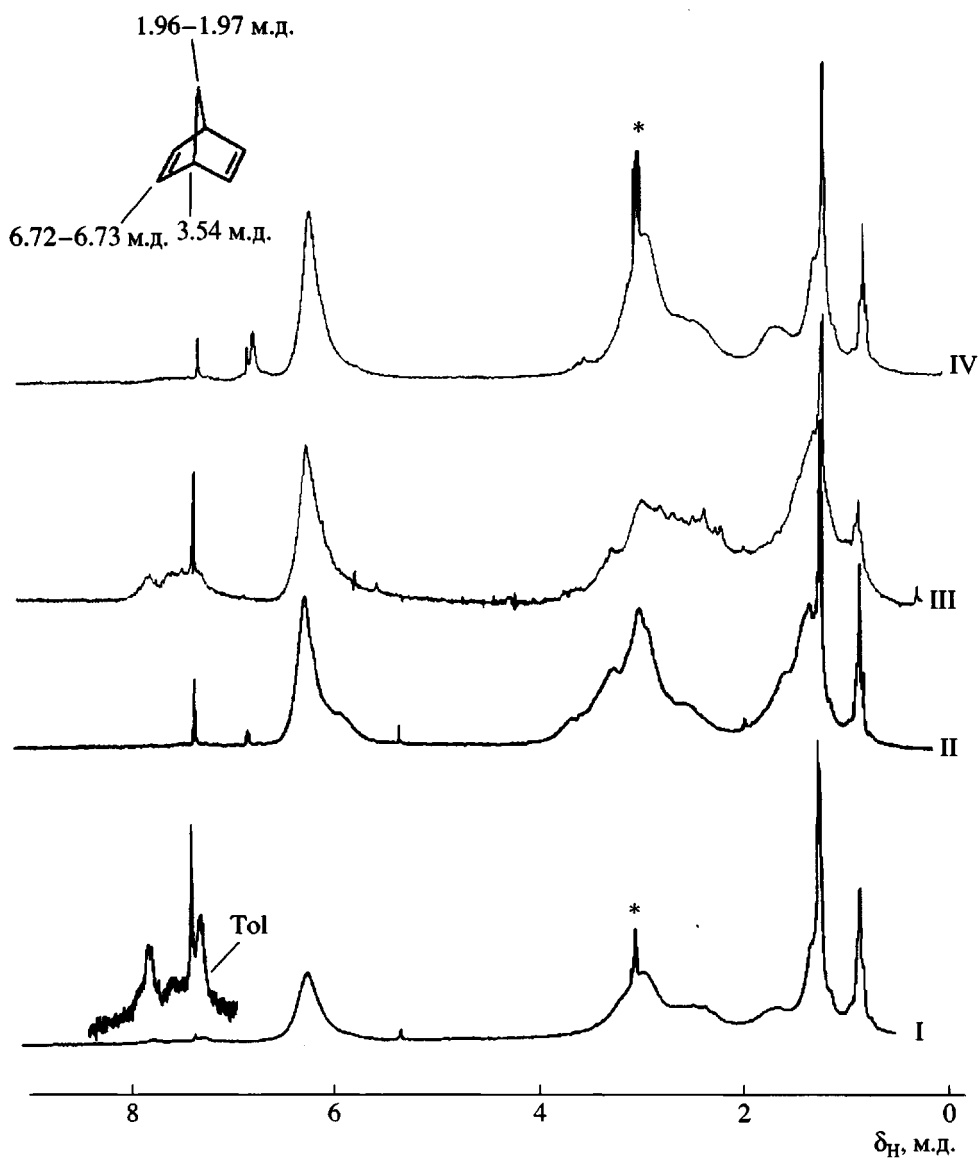


Рис. 2. Спектры ЯМР ^1H соолигомеров норборнадиена с CO. CDCl_3 , 200 МГц. (*) – внешний стандарт $(\text{CH}_3)_2\text{CO}$. Здесь и на рис. 3 и 4 номера соолигомеров соответствуют табл. 2.

де, что предполагает координацию последнего с Pd с образованием пятикоординационного ком-

плекса [18] и(или) замещение толильной группы катализатора на метоксильную группу

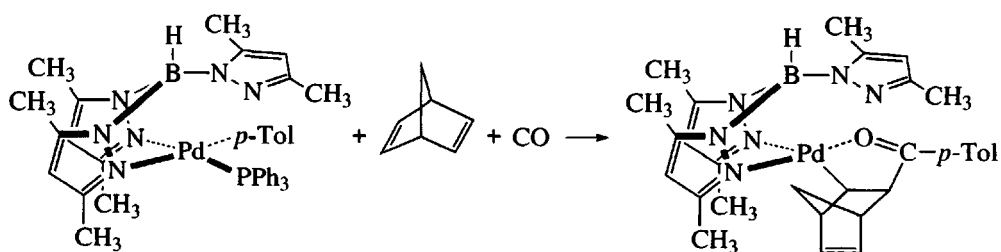


Схема 4

и дальнейшее внедрение мономеров по связи $\text{Pd}-\text{OCH}_3$.

Помимо этой реакции не исключается реакция

обмена толильной группы в палладиевом комплексе на метоксильную группу при реакции Pd -комплекса с метанолом

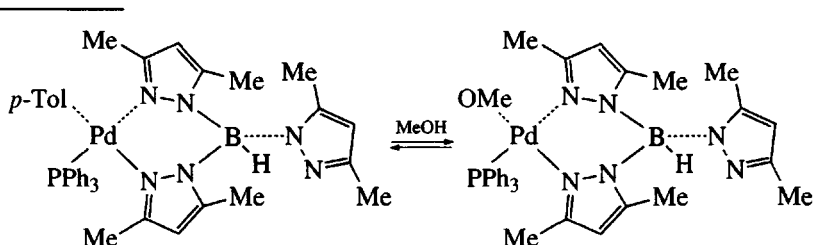
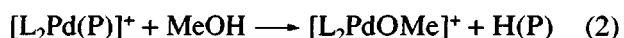
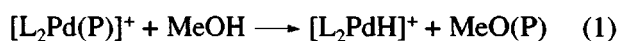


Схема 5

Обрыв цепи в случае присутствия MeOH возможен по реакциям



Известно, что $[\text{L}_2\text{PdH}]^+$ центры, как и в отсутствие кислот $[\text{L}_2\text{PdOMe}]^+$, неустойчивы [2, 20] и образуют соединения $\text{Pd}(0)$.

Поскольку в составе соолигомера III, по данным ЯМР ^1H и ЯМР ^{13}C , имеются концевые толильные группы, повышение скорости поглощения CO и скорости соолигомеризации связано с

увеличением скорости внедрения мономеров по связи $\text{Pd}-\text{OCH}_3$, а также с возможностью их внедрения по связи $\text{Pd}-\text{Tol}$. Образование метоксильного комплекса приводит к выпадению палладиевой черни.

Отличительной особенностью получаемого в присутствии метанола соолигомера III является содержание в нем спирокетальных (рис. 3, кривая III, сигнал 116 м.д.) и лактонных структур, наряду с кетонными. Образование спирокеталей связано с прохождением соолигомеризации по “тандемному” механизму [2]. В случае соолигомеризации норборнадиена с CO их образование возможно по схеме

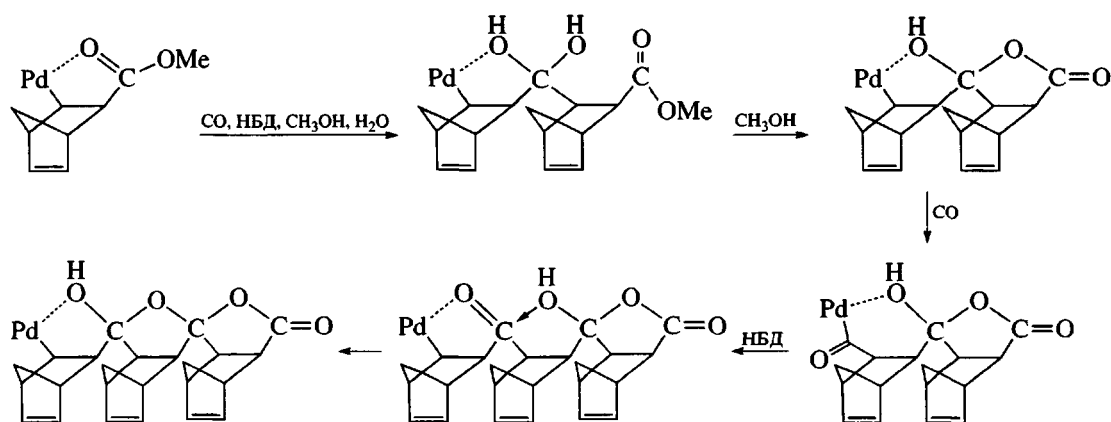


Схема 6

С целью увеличения скорости соолигомеризации и снижения скорости образования $\text{Pd}(0)$ в состав катализатора был добавлен бензохинон, который, как известно [2], препятствует восстановлению $\text{Pd}(\text{II})$ до

$\text{Pd}(0)$ и способствует прохождению реакции

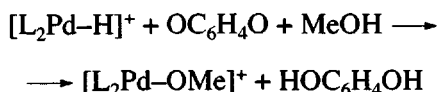
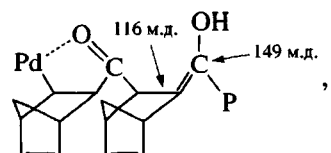




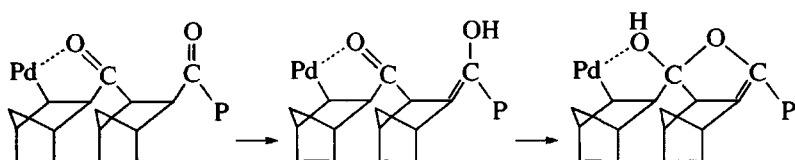
Рис. 3. Спектры ЯМР ^{13}C соолигомеров норборнадиена с CO, CDCl_3 , 50.4 МГц.

Скорость соолигомеризации норборнадиена с CO в этом случае значительно возросла (рис. 1, кривая IV), хотя выпадение палладиевой черни также имело место. При этом в соолигомере III, по данным ЯМР ^1H и ЯМР ^{13}C отсутствовали спирокетальные, лактонные и толильные группы. В то же время в соолигомере, по данным ЯМР ^{13}C

(рис. 3, кривая IV), содержались енольные структуры



образующиеся, вероятно, по реакции



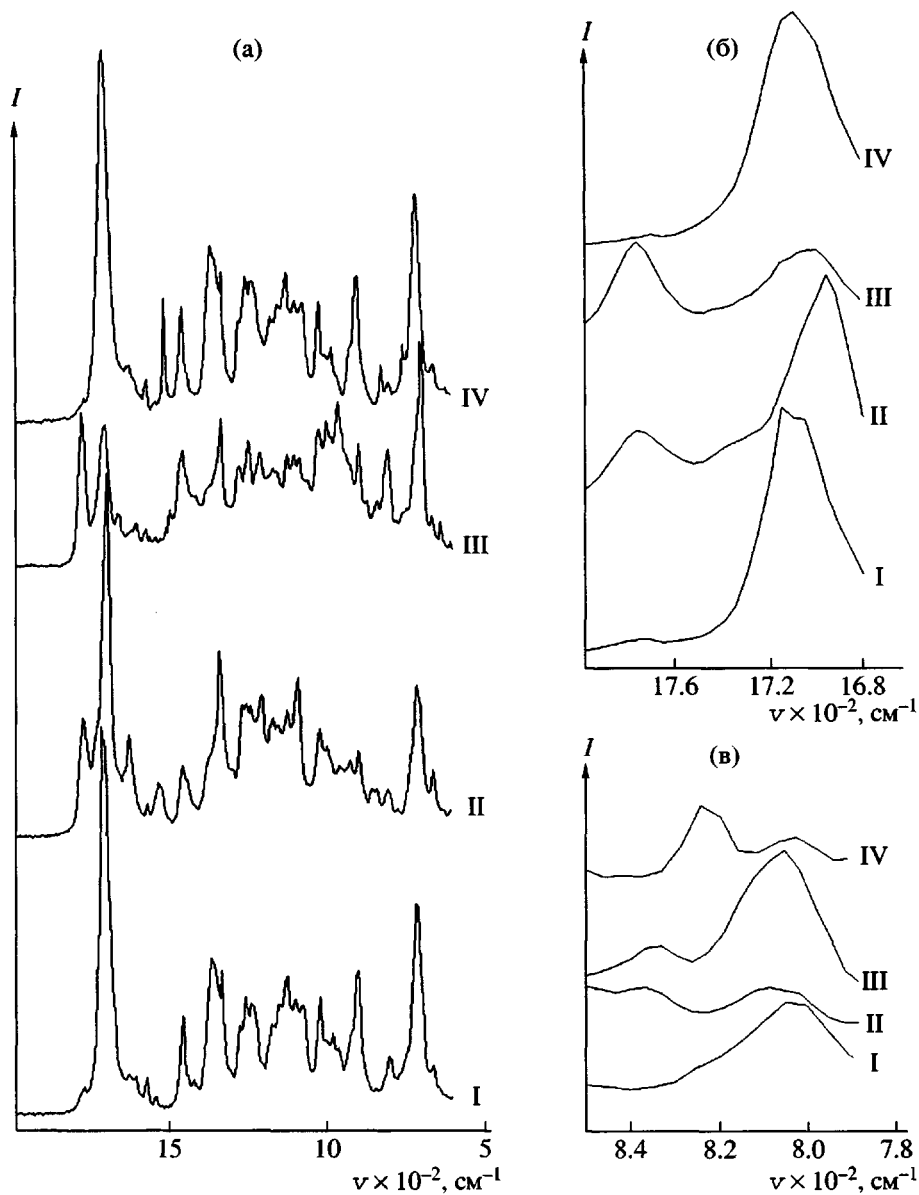
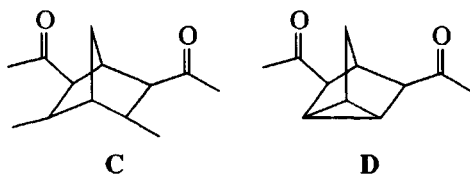


Рис. 4. ИК-спектры соолигомеров норборнадиена с СО, таблетка KBr.

По данным ИК-спектроскопии в составе соолигомера IV содержатся концевые метиленовые группы, образование которых протекает по схеме 3 и обусловлено наличием гидрид-Pd-центров.

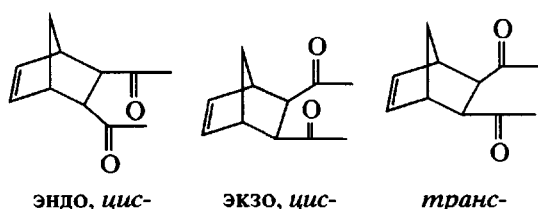
Содержание алифатических протонов по отношению к олефиновым, по данным спектров ЯМР ^1H , составляет 5.0; 4.2; 4.7; 4.0 соответственно для соолигомеров I, II, III и IV при теоретическом значении равном трем. Таким образом, во всех соолигомерах присутствуют звенья, образовавшиеся вследствие вступления в реакцию соолигомеризации второй двойной связи. Следствием этого могут быть структуры, которым отвеча-

ют сигналы 14–35 м.д. в спектре ЯМР ^{13}C во всех соолигомерах:



Полоса 810 cm^{-1} в ИК-спектрах (рис. 4в), по данным работы [8], относится именно к трициклическим структурам D.

Учитывая строение норборнадиена, карбонильные группы в соолигомере могут быть в трех разных положениях:



Согласно опубликованным ранее данным [8, 10, 21], мы предполагаем, что во всех случаях в изученных условиях соолигомеры содержат экзо-, цис-структуры, однако в случае соолигомера II в составе продукта также присутствуют транс-изомеры.

СПИСОК ЛИТЕРАТУРЫ

- Sen A. // Acc. Chem. Res. 1993. V. 26. № 6. P. 303.
- Drent E., Budzelaar P.H.M. // Chem. Rev. 1996. V. 96. № 2. P. 663.
- Белов Г.П. // Высокомолек. соед. Б. 1998. Т. 40. № 3. С. 503.
- Белов Г.П. // Высокомолек. соед. С. 2001. Т. 43. № 9. С. 1651.
- Новикова Е.В. // Дис. ... канд. хим. наук. Черноголовка: ИПХФ РАН, 2002.
- Белов Г.П. // Изв. РАН. Сер. хим. 2002. № 9. С. 1475.
- Bianchini C., Meli A. // Coord. Chem. Rev. 2002. V. 225. № 1–2. P. 35.
- Tsuji J., Hosaka S. // J. Polym. Sci., Polym. Lett. 1965. V. 3. № 9. P. 703.
- Grazini M., Carturan G., Bellucco U. // Chim. Ind. (Milan). 1971. V. 53. P. 939.
- Sen A., Lai T.W. // J. Am. Chem. Soc. 1982. V. 104. № 12. P. 3520.
- Drent E. Eur. pat. 0229408. 1986.
- Liaw D.J., Tsai J.S. // J. Polym. Sci. A. 1997. № 7.V. 35. P. 1157.
- Kawaguchi T., Kanno M., Yanagihara T., Inoue Y. // J. Molec. Catal. A. 1999. V.143. № 1–3. P. 253.
- Zhang S.-W., Takahashi S. // Chem. Commun. 2000. № 4. P. 315.
- Klaui W., Turkovski B., Chenskaya T.B. // Z. Anorg. Alig. Chem. 2001. V. 627. № 12. P. 2609.
- Domhover B., Klaui W., Kremer-Aach A., Bell R., Mootz D. // Angew. Chem. Int. Ed. 1998. V. 37. № 21. P. 3050.
- Klaui W., Bongards J., Reiss G.J. // Angew. Chem. Int. Ed. 2000. V. 39. № 21. P. 3894.
- Luo H.K., Kou Y., Wang X.W., Li P.G. // J. Molec. Catal. A. 2000. V. 151. № 1–2. P. 91.
- Karasik A.A., Naumov R.N., Sinyashin O.G., Belov G.P., Novikova E.V., Lönnecke P., Hey-Hawkins E. // J. Chem. Soc., Dalton Trans. 2003. P. 2209.
- Пивоваров А.П., Новикова Е.В., Белов Г.П. // Координат. химия. 2000. Т. 26. № 1. С. 41.
- Dalcanale E., An Z., Battaglia L.P., Catellani M., Chiusoli G.P. // J. Organomet. Chem. 1992. V. 437. № 3. P. 375.

Alternating Cooligomerization of Carbon Monoxide with Norbornadiene in the Presence of Palladium *tris*-Pyrasolylborate, $[\text{Pd}(\text{Tp}^{\text{Ph}})(p\text{-tolyl})(\text{PPh}_3)]$

E. V. Novikova*, G. P. Belov*, W. Klaui**, and A. A. Solotnov*

*Institute of Problems of Chemical Physics, Russian Academy of Sciences,
Chernogolovka, Moscow oblast, 142432 Russia

**Institute für Anorganische Chemie und Strukturchemie der Universität,
Universitätsstrasse 1, D-40225 Düsseldorf, Germany

Abstract—The synthesis and structure of alternating cooligomers of carbon monoxide and norbornadiene produced in the presence of a one- or two-component catalytic system palladium *tris*-pyrasolylborate in the aprotic medium and in the presence of methanol, benzoquinone, and/or CF_3COOH were studied. Based on the data of IR and ^1H and ^{13}C NMR spectroscopy and gel permeation chromatography, possible mechanisms for the formation of different structures in cooligomer chains, depending on the synthesis conditions, are discussed.